

# ВЛИЯНИЕ НЕЙТРОННОГО ОБЛУЧЕНИЯ НА ИЗМЕНЕНИЕ НЕКОТОРЫХ ФИЗИЧЕСКИХ ПАРАМЕТРОВ ПОЛУПРОВОДНИКОВ ТИПА Te—Se—Bi, Te—Sb—Bi

ПАВЕЛ МАЦКО (PAVEL MACKO), Братислава

## ВВЕДЕНИЕ

При облучении полупроводников нейронами образуется в материале система дефектов и ядерных реакций, зависящих от энергии бомбардирующего нейтрана, а также от характера и структуры полупроводника. Наконец, мы видим, что образованные дефекты имеют влияние на некоторые физические параметры.

Известны следствия взаимодействия быстрых нейтронов с моногатомарными или биогатомарными монокристаллами полупроводников, например, из работ [1] [2] [3] [4] [5]. До сих пор вообще не исследовалось влияние нейтронного облучения на полигатомарные полупроводники.

В работе исследуется влияние нейтронного облучения на изменение термофизических параметров полупроводниковых термоматериалов типа Te—Se—Bi (*n*-тип) и Te—Sb—Bi (*p*-тип), которые даны формулой  $Z$  — параметра:

$$Z = \frac{\alpha^2 \cdot \sigma}{\lambda}, \quad (1)$$

$\alpha$  — коэффициент термо э. д. с.,  
 $\sigma$  — коэффициент электропроводности,  
 $\lambda$  — коэффициент теплопроводности.

Исследование этого параметра в зависимости от облучения имеет большое практическое значение, так как от его значения зависит коэффициент полезного действия термобатерии.

## ОБРАЗЦЫ И МЕТОДИКА ИЗМЕРЕНИЯ

Для наших экспериментов мы выбрали из серии образцов изготовленных в БЧГПП ШУМПЕРК, образцы *n* и *p* типа полупроводника, приготовленные

нного методом порошковой металлургии. Влияние облучения образцов мы исследовали на образцах размерности зерна

$A = 1,5$  мм,

$B = 0,08$  мм.

Физические параметры, исследованные в зависимости от размерности зерна, даны в работе [6]. Результаты этой работы дают возможность сделать модель ожидаемых нарушений. Эти нарушения могут возникнуть как отдельные смещения, клины смещения, группы дефектов, которые в большинстве имеют характер дефектов Френкеля и Шотки. На возникшие дефекты можно смотреть как на области с уменьшенной электропроводностью, или как на область включенного изоланта [7].

В большинстве случаев влияние дефектов является негативным, и тогда снижается электропроводность и теплопроводность. В нашем случае нужно учесть размерность и характер слоев между отдельными зернами и их влияние на общую проводимость образца. С этой точки зрения мы взяли для экспериментов образцы, слепленные отпрессовкой экстременно разных размерностей зерн. Эти образцы были облучены в вертикальном канале ядерного реактора УИВ ЧСАВ Прага — Реж.

Характер работы требовал осуществить последовательно два вида измерений:

- исследование изменения данных параметров до и после облучения.
- свободное измерение прямо в реакторе.

В одном и другом случае для измерения пользовались измерительными методами, описанными в работах [8] [9]. Спецификация работы и работа с радиоактивными образцами требовала изготовить специальные приборы для сквозного измерения в реакторе [10].

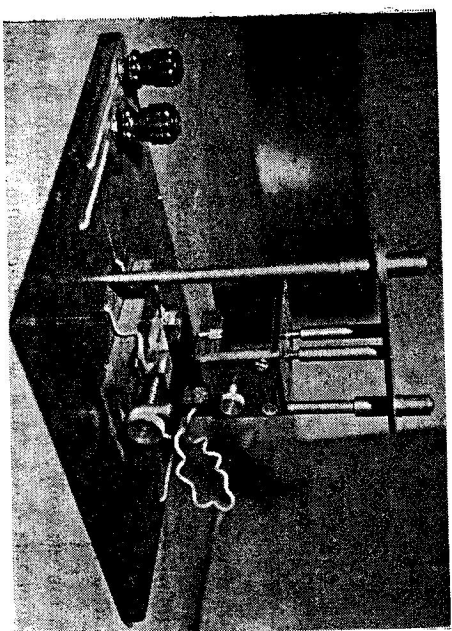


Рис. 1. Зажим для измерения образцов.

К определению  $Z$  — параметра мы использовали комбинации самостоятельных измерительных методов  $\alpha$ ,  $\sigma$ ,  $\lambda$  с методом одного измерения для определения  $Z$  — параметра. Этот способ мы выбрали потому, что хотели исследовать изменение  $\alpha$ ,  $\sigma$ ,  $\lambda$  и  $Z$  — параметра отдельно. Образцы были до и после облучения изложены в зажиме, который показан на рис. 1. Этот зажим дал возможность измерить  $\sigma$  и  $\alpha^2/\lambda$  без вынятия образца.

В первом этапе работы дали облучить в ядерном реакторе образцы из материала А и В интегральной дозой  $10^{18}$  н/см<sup>2</sup>. Эксперимент показал негативное влияние на физические параметры материала А и позитивное у материала В. Во втором этапе работы мы ориентировались на исследование изменения параметров у материала с размерностью зерна 0,08 мм (материал В).

В таблице 1 собраны результаты измерений до и после облучения для  $n$ -типа А термоматериала, в таблице 2 для  $p$ -типа В термоматериала. Свободное измерение в реакторе было нужно для выяснения скорости (материала В).

В таблице 1 собраны результаты измерений до и после облучения для  $n$ -типа А термоматериала, в таблице 2 для  $p$ -типа В термоматериала. Свободное измерение в реакторе было нужно для выяснения скорости

Таблица 1

$\alpha$ [ $\mu\text{V} \cdot \text{deg}^{-1}$ ]	$\sigma$ [ $\Omega^{-1} \cdot \text{cm}^{-1}$ ]	$\lambda \cdot 10^3$ [cal $\cdot \text{cm}^{-1} \cdot \text{sec}^{-1}$ ] $\cdot \text{deg}^{-1}$	$Z \cdot 10^3$ [deg $^{-1}$ ]
184	175	741	3,15
180	175	964	3,11
184	176	768	3,08
182	176	640	2,95
		502	2,12
		3,2	1,6
		3,2	1,24

Таблица 2

$\alpha$ [ $\mu\text{V} \cdot \text{deg}^{-1}$ ]	$\sigma$ [ $\Omega^{-1} \cdot \text{cm}^{-1}$ ]	$\lambda \cdot 10^3$ [cal $\cdot \text{cm}^{-1} \cdot \text{sec}^{-1}$ ] $\cdot \text{deg}^{-1}$	$Z \cdot 10^3$ [deg $^{-1}$ ]
189	189	1012	1168
204	196	835	914
190	188	506	620
225	221	507	650
		4,58	3,24
		3,5	1,9
		4,2	3,82
		4,8	3,6
			1,44
			2,1

создания дефектов в материале, а также для определения необходимой дозы нейтронного излучения. Этот эксперимент оказался очень затруднительным. Измерительный зонд был приготовлен по требованию работников УИВ ЧСАВ Прага — Ренк. Схематический рисунок зонда с двумя измерительными образцами дан на рисунке 2.

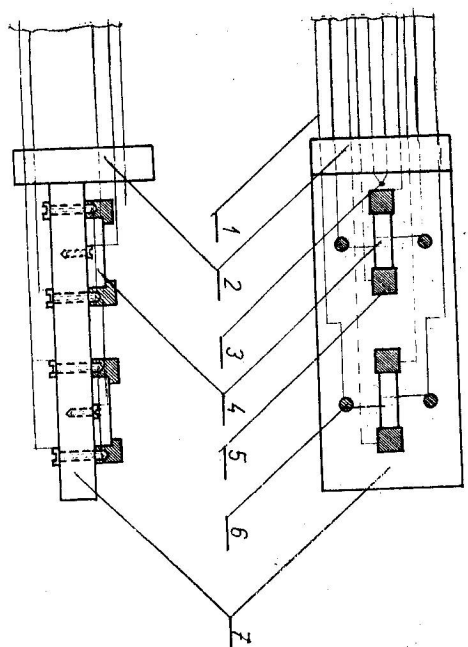


Рис. 2. Схематический рисунок зонда для измерения в реакторе.  
1 — приключительные проволоники, 2 — керамические крижики, 3 — термопара, 4 — измерительный образец, 5 — контактные блоки, 6 — зацепные витки, 7 — основная доска.

Этот зонд был помещен в сухом вертикальном канале реактора в средней части активной зоны. Приключительные проводники от зонда были управляемы каналом пол криккой реактора к измерительным приборам. Мгновенный нейтронный ток в реакторе был  $3 \cdot 10^{13} n/cm^2$  сек. Отношение тепловых и быстрых нейтронов было 1:1. Температура при измерении в зонде в течении 30 мин. от спуска реактора установилась на  $(262 \pm 1,5)$  °C. Измерения мы делали на образцах В термоматериала (один образец *p*-типа и один образец *n*-типа). Измерение изменения электропроводности и  $Z$  — параметра даны на рис. 3.4.

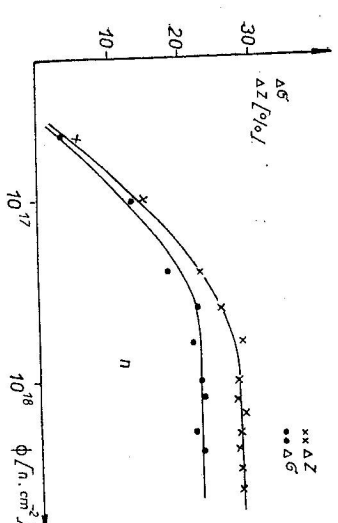


Рис. 3. Изменение электропроводности  $\sigma$  и  $Z$  — параметра в зависимости от нейтронного тока  $\Phi$  (*n*-тип).

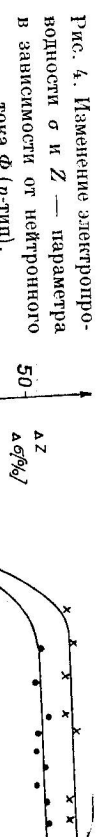


Рис. 4. Изменение электропроводности  $\sigma$  и  $Z$  — параметра в зависимости от нейтронного тока  $\Phi$  (*p*-тип).

## ОБСУЖДЕНИЕ РЕЗУЛЬТАТОВ

При исследовании причин изменения исследуемых физических параметров мы исходим из представления следующих типов дефектов:

1. дефекты основного материала, которые имеют характер сложных дефектов и их влияние на изменение исследуемых параметров в большинстве случаев негативны.

2. дефекты переходных слоев между отдельными зернами, которые могут иметь позитивные последствия. Для объяснения различия в изменении параметров между образцами данными в табл. 1. и образцами в табл. 2. и 3. мы исходим из различий структур в первой и второй группе.

При технологической обработке на воздухе, а также при отпрессовке приготовленного порошкового материала отдельные зерна покроятся окислами основных материалов — в основном  $SeO_2$ ,  $TeO_2$ . Можно ожидать, что относительное влияние переходных слоев сопротивления больше у материала В (зерно 0,08 мм), чем у материала А (зерно 1,5 мм). На изменение параметров будут один раз оказывать влияние дефекты окисловых слоев, в другой раз — дефекты структуры собственного материала.

### a. Термоэлектродвигущая сила

Для коэффициента термо э. д. с. полупроводника напр. *n*-типа имеет место формула:

$$\alpha = \frac{k}{e} \left[ r + 2 + \ln \frac{2(2\pi \cdot m_n^* \cdot k \cdot T)^{3/2}}{n \cdot h^3} \right] \quad (2)$$

Если учесть состав нашего материала, то величину коэффициента термо э. д. с. можно представить в виде:

$$\alpha = f' \left( r, \frac{1}{n} \right). \quad (3a)$$

Так как коэффициент рассеяния  $r$  имеет очень малое влияние на величину коэффициента термо э. д. с., можно его значение выразить в виде:

$$\alpha = f \left( \frac{1}{n} \right). \quad (3b)$$

Тогда термо э. д. с. будет изменяться только при изменении концентрации свободных носителей заряда. Здесь речь идет только о сильно дегенерированном полупроводнике поликристаллического материала со шириной запрещенной зоны  $\Delta E_z = 0,1 eV$ .

Образованные дефекты оказывают очень малое влияние на изменение концентрации свободных носителей. Атомы, смещенные с предыдущих смешанных состояний, способствуют рассеянию носителей заряда, что в конечном виде выражается в понижении их подвижности.

Если не изменяется концентрация носителей, то не будет изменяться и термо э. д. с. Это показывают результаты приведенные в таблицах 1, 2, 3, где разница в величине  $\alpha$  до и после облучения не превосходит допустимый процент ошибки при измерении.

### 6. Электропроводность

Общая электропроводность состоит из двух частей  $\sigma_n$  и  $\sigma_R$ , где  $\sigma_n$  — коэффициент электропроводности собственного материала,  $\sigma_R$  — коэффициент электропроводности проходного слоя.

Часть проводности

$$\sigma_n = e \cdot u_n \cdot n, \quad (4)$$

изменяется при постоянной концентрации носителей и вследствие изменения подвижности  $u_n$ . Подвижность уменьшается в связи с рассеянием носителей заряда на образованных дефектах.

Часть проводности  $\sigma_R$  — изменяется в следствии интеракции нейтронов с атомами переходного материала. Клины смещения и главным образом заменные дефекты способствуют повышению электропроводности переходного слоя. Общее изменение электропроводности зависит тогда от отношения  $\sigma_n$  и  $\sigma_R$ .

Для материала А выразительно уменьшение  $\sigma_n$  вследствие рассеивающих процессов, чем повышение  $\sigma_R$ , поэтому общая электропроводность уменьшается. Результаты измерения даны в табл. 1. Для материала В (результаты даны в табл. 2. и 3.), который состоит из маленьких зерн, отношение оболочки окиси и внутреннего объема материала достаточно большое, поэтому здесь преимущественно имеют влияние дефекты слоев окислов.

Таблица 3

$\alpha$ [ $\mu V \cdot deg^{-1}$ ]	$\sigma$ [ $\Omega^{-1} \cdot cm^{-1}$ ]	$\lambda \cdot 10^3$ [ $cal \cdot cm^{-1} \cdot sec^{-1}$ ]	$Z \cdot 10^3$ [ $deg^{-1}$ ]
176	176	760	2,95
171	175	910	2,51
174	172	820	2,91
176	173	850	2,7
		950	2,67
			2,3
			2,55

Так как повышаться  $\sigma_R$ , повышается и общее значение  $\sigma$  ( $\sigma$  повышается и при понижении  $\sigma_n$ ).

### 7. Теплопроводность

Для полупроводникового материала типа можно теплопроводность записать в виде:

$$\lambda = \lambda_n + \lambda_m, \quad (5)$$

где  $\lambda_n$  — часть теплопроводности, связанная со свободными носителями заряда — электронами,

$\lambda_m$  — часть теплопроводности, зависящая от решетки.

Для наплавленного материала нужно обратить внимание на теплопроводность переходного слоя  $\lambda_L$  и значение общей теплопроводности материала.

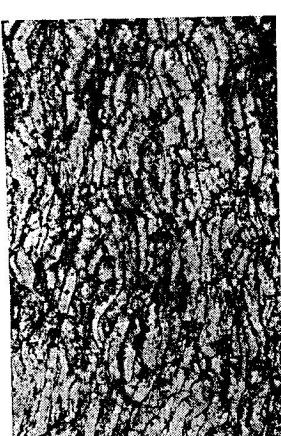


Рис. 5. Структура исследованных образцов.

Выражение для общего значения теплопроводности зависит от порядка отдельных зерен исследуемого материала и от его структуры. Рис. 5 изображает сечение такого материала, по которому можно себе сделать представление о структуре исследуемого полупроводника. Рисунок показывает, что для вычисления общей теплопроводности материала можно пользоваться моделью, данной Киршером [11], из которого общую теплопроводность можно записать в виде:

$$\lambda = a_1 \lambda_1 + a_2 \lambda_2 = a_1(\lambda_m + \lambda_r) + a_2 \lambda_r, \quad (6)$$

где коэффициенты  $a_1$ ,  $a_2$  зависят от отношения оболочки поверхности зернышка к объему собственного зернышка.

$\lambda_m$  и  $\lambda_r$  электронные части теплопроводности, удовлетворяют Франц —

Видемана условию:

$$\frac{\lambda_m}{\sigma_n} = A \cdot \left( \frac{k}{e} \right)^2 T; \quad \frac{\lambda_r}{\sigma_r} = B \cdot \left( \frac{k}{e} \right)^2 T, \quad (7)$$

где численное значение коэффициента  $A$ , в зависит от степени дегенерации материала. С понижением  $\sigma$  понижается  $\lambda_m$ , с повышением  $\sigma$  повышается  $\lambda_r$ .

Можно написать:

$$\lambda_m + \lambda_r = K \cdot \sigma. \quad (8)$$

Эти две части теплопроводности изменяются пропорционально общей электропроводности.

Часть решеточной теплопроводности  $\lambda_m$  сильно зависит от правильной структуры исследуемого полупроводника. С повышением числа дефектов в материале повышается рассеяниеphonонов на них и свободная длина phonона понижается. Исходя из соотношения

$$\lambda_m = \frac{1}{3} \cdot c \cdot V \cdot l, \quad (9)$$

где  $V$  — средняя скорость phonонов,  $l$  — средняя свободная длина phonонов, получаем, что вследствие уменьшения  $l$  понижается  $\lambda_m$ .

Эта часть общей теплопроводности может в зависимости от структуры полупроводника оказывать значительное влияние на общее значение теплопроводности.

Для  $n$ -типа ( $\text{Bi}_2\text{Te}_3 - \text{Bi}_2\text{Se}_3$ ) понижение значения  $\lambda_m$  меньше чем для  $p$ -типа ( $\text{Sb}_2\text{Te}_3 - \text{Bi}_2\text{Te}_3$ ), где понижение  $\lambda_m$  способствует понижению общего значения  $\lambda$ .

Значение общей теплопроводности, измеренной до и после облучения приводится в табл. 1, 2, 3.

д.  $Z$  — параметр

$Z$  — параметр изменяется вследствие изменения электропроводности и в некоторых случаях и под влиянием изменения теплопроводности.

#### e. Отказы радиационных дефектов

Полупроводник в котором образовались дефекты вследствие радиоактивного облучения, представляет собой неравновесную систему, которая устарением подходит к системе равновесной и число дефектов уменьшается. Дефекты можно устранить тепловой обработкой облученного материала. Процессы диффузии, рекомбинации и аборбции дефектов сложны и сильно зависят от температуры отжига.

Образцы нагревали при температуре  $400^{\circ}\text{C}$  в течение 6 часов и выяснили, что в то время как для материала А после нагревания значение параметров возвращается приблизительно к значениям, измеренным до и после облучения, для материала В значение электропроводности дальше возрастает.

В этом случае нагревание образца устраивает радиационные дефекты в зернышках, но невозможно опять образовать оболочку окисла, и образованные каналы в контактом слое останутся. Методы отжига радиационных дефектов доказали правильность предыдущих показаний.

Сквозное измерение в реакторе показало, что исследованные физические параметры дальше не изменяются, если интегральная доза достигает значения  $5 - 7 \cdot 10^{17} \text{n/cm}^2$ , значит, после 20-ти часов облучения.

Рисунки 3. и 4. показывают процентное изменение  $\sigma$  и  $Z$  — параметра в зависимости от размерности нейтронного тока для одного образца  $n$ -типа (рис. 3.) и для одного образца  $p$ -типа (рис. 4.).

#### ЗАКЛЮЧЕНИЕ

Мы выяснили, что можно повышать значение электропроводности и при мало изменением  $\lambda$  и  $\alpha$  и значение  $Z$  — параметра, что имеет практическое применение в повышении коэффициента полезного действия термобатерии (холодильника). При ограничении тока тепловых нейтронов (напр.  $Cd$  фильтром) можно понизить активность облучения образцов. Это важно, так как  $p$ -тип материала содержит Sb.

Наконец мы хотим выразить благодарность А. Легма и М. Чапеку из УИВ ЧСАВ Прага — Рек, за помощь при наших экспериментах.

## ЛИТЕРАТУРА

- [1] Cleland J. W., Crawford J. H., Pigg J. C., Phys. Rev. 98 (1955), 1742.
- [2] Crawford J. H., Cleland J. W., J. Appl. Phys. 30 (1959), 1042.
- [3] Коноплева Р. Ф., Новиков С. П., Рыбкин С. М., ФТТ 5 (1963), 1842.
- [4] Kulp B. A., Detweiler R. M., Electron Radiation Damage in ZnS<sub>2</sub> at low temperature (Royaumont Symposium 1964).
- [5] Cleland J. W., Boss F. F., *The nature and Yield of Photon and Neutron Induced Defects in Semiconductors* (Royaumont Symposium 1964).
- [6] Reňák J., Kandidátska práca, Bratislava 1965.
- [7] Витокский Н. А., Машовец Т. В., Рыбкин С. М., ФТТ 5 (1962), 2842.
- [8] Krempaský J., Čas. Fys. 12 (1964), 353.
- [9] Krempaský J., Czech. J. Phys. B 14 (1964), 535.
- [10] Macko P., Timina V., Vybral P., Výzkumná práca 31/E, Bratislava 1965.
- [11] Krischer O., Beihafte z. Gesundheits Ing. 33 (1934).

Поступило в Редакцию 28 апреля 1966 г.

Katedra fyziky  
Elektrotechnickej fakulty SVŠT,  
Bratislava